

# Γεωχημική Χαρτογράφηση

Αριάδνη Αργυράκη

# Περιεχόμενα

- Γεωχημικοί χάρτες
- Μεθοδολογία
- Παρουσίαση χαρτών – μελέτες περιπτώσεων

# Γεωχημικοί χάρτες

- Αποτύπωση γεωχημικού αναγλύφου της γήινης επιφάνειας σε 2 διαστάσεις
- Δεδομένα από χημική ανάλυση γήινων μέσων (έδαφος, ίζημα, νερό)
- Εργαλείο για:
  - Μελέτη της γεωλογικής ιστορίας της γης
  - Εντοπισμό ορυκτών πρώτων υλών
  - Μελέτη και προστασία του περιβάλλοντος

**ΠΑΝΕΥΡΩΠΑΪΚΟ ΠΡΟΓΡΑΜΜΑ  
ΓΕΩΧΗΜΙΚΗΣ  
ΧΑΡΤΟΓΡΑΦΙΣΗΣ**

**FOREGS**  
**(FORUM OF EUROPEAN GEOLOGICAL  
SURVEYS)**

# FOREGS

- Forum of European Geological Surveys
- 33 Ευρωπαϊκές χώρες (Ελλάς: ΙΓΜΕ)
- FOREGS Geochemistry Task Group →  
Προετοιμασία γεωχημικού χάρτη Ευρώπης  
στα πλαίσια της Παγκόσμιας Γεωχημικής  
Χαρτογράφησης (IGCP – Global  
Geochemistry Baselines Working Group)

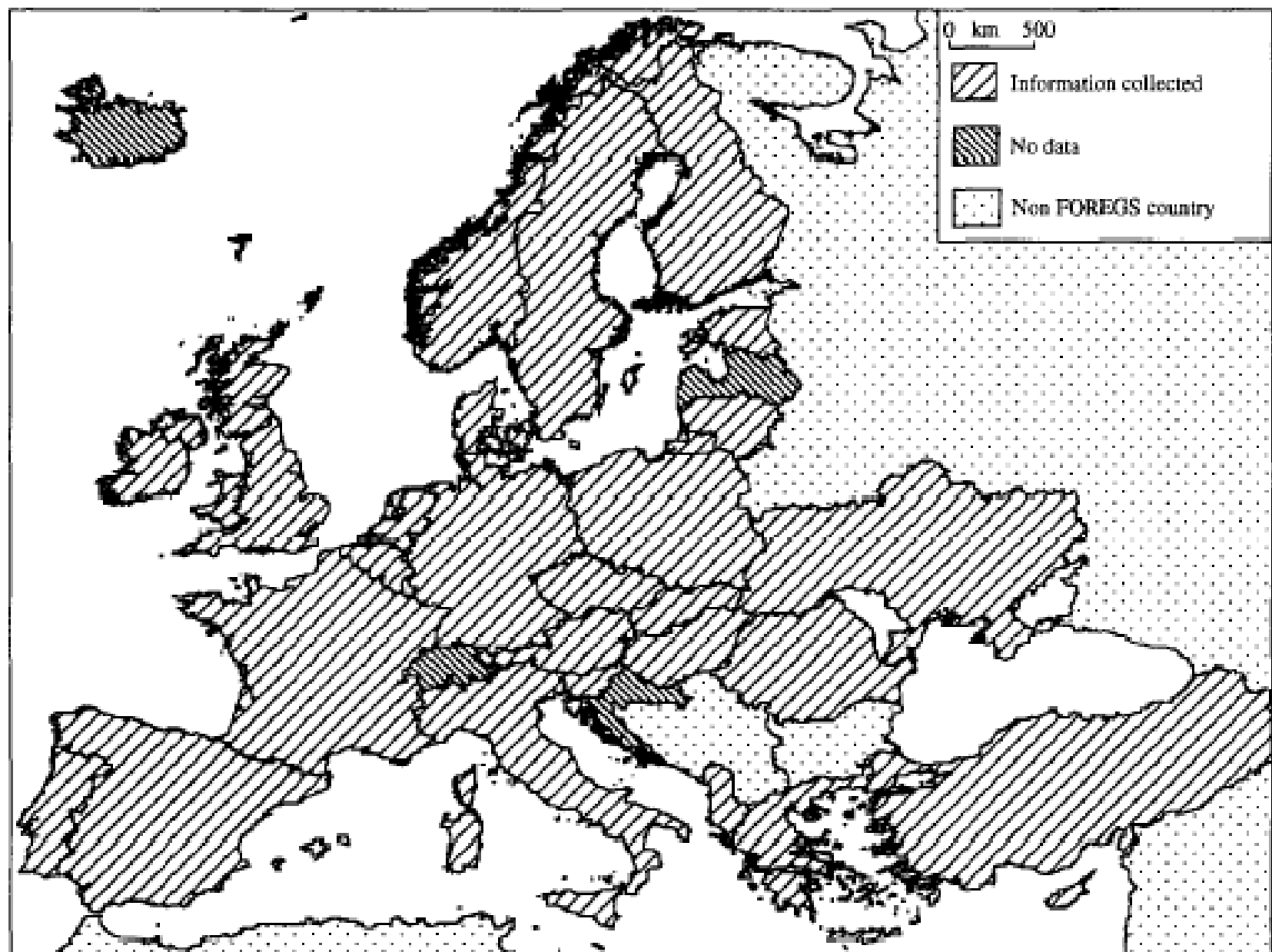


Fig. 1. Countries included in the FOREGS geochemical inventory 1995.

# ΣΤΟΧΟΙ ΤΟΥ ΠΡΟΓΡΑΜΜΑΤΟΣ

- Δημιουργία συστηματικού γεωχημικού χάρτη της Ευρώπης
- Χρήση χάρτη για:
  - Λήψη πολιτικών αποφάσεων σχετικών με προστασία και αποκατάσταση του περιβάλλοντος
  - Αναπτυξιακό σχεδιασμό για αειφόρο εκμετάλλευση φυσικών πόρων, ιδιαίτερα μεταλλευμάτων
  - Οικονομικές / Περιβαλλοντικές εφαρμογές (εκτίμηση αποθεμάτων φυσικών πόρων, ανεύρεση νέων κοιτασμάτων, μεταλλογενετικές, αγρονομικές, επιδημιολογικές έρευνες, θαλάσσια ρύπανση)

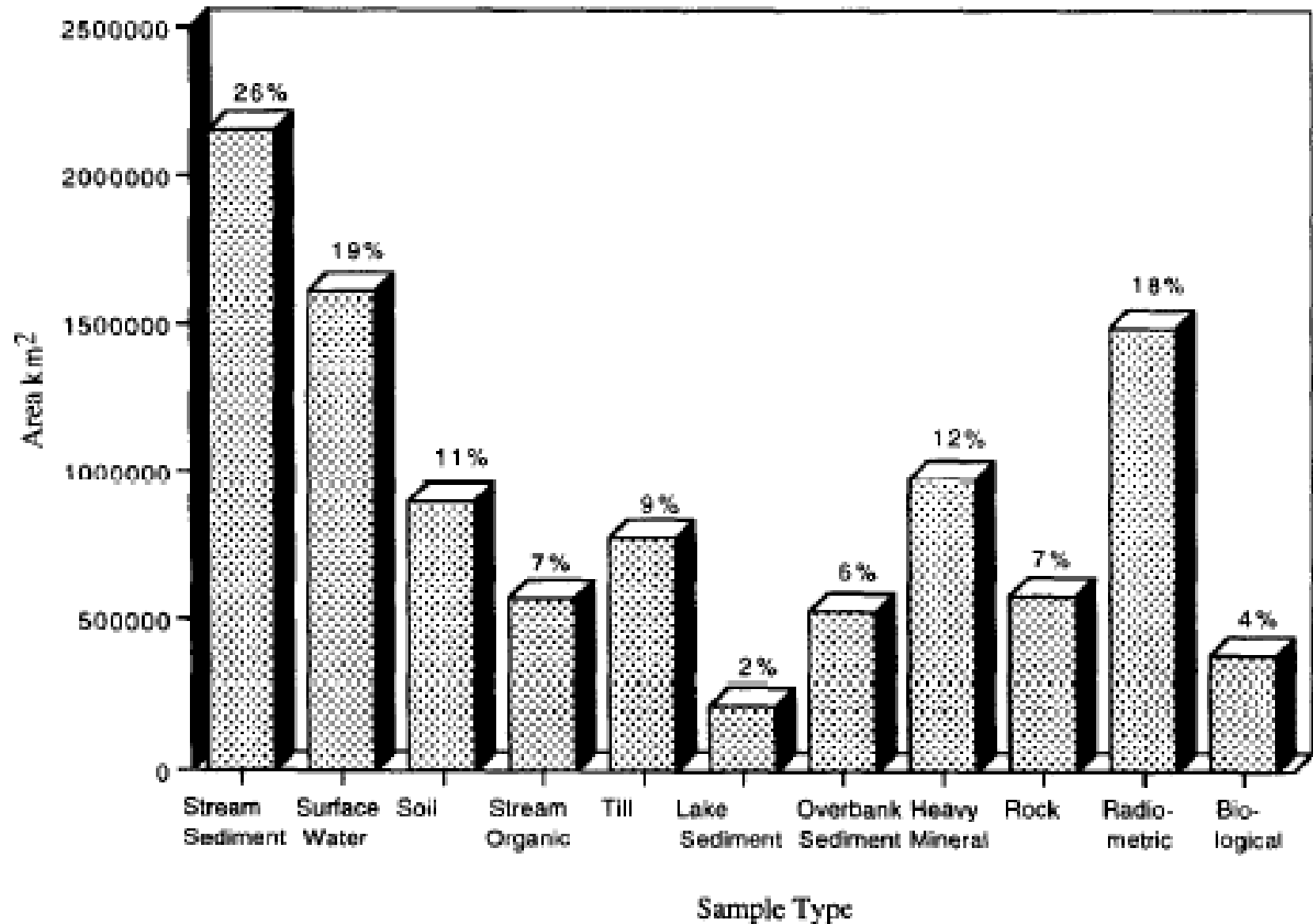
# ΧΑΡΑΚΤΗΡΙΣΤΙΚΑ ΔΕΔΟΜΕΝΩΝ

1. Συστηματοποίηση και συμβατότητα μεταξύ κρατών
2. Διαθεσιμότητα σε ψηφιακή μορφή για χρήση μέσω ΓΣΠ και σύγκριση με άλλες βάσεις δεδομένων (π.χ. επιδημιολογία, χρήσεις γης)
3. Πληρότητα ως προς την ποικιλία προσδιοριζόμενων χημικών στοιχείων, φυσικών και συνθετικών
4. Ποικιλία μέσων δειγματοληψίας (εδάφη, νερά, ιζήματα ρεμάτων, θαλάσσια ιζήματα)

# 1η ΦΑΣΗ ΠΡΟΓΡΑΜΜΑΤΟΣ

1. Απογραφή διαθέσιμων γεωχημικών δεδομένων  
Γεωλογικών Ερευνητικών Κέντρων  
(ερωτηματολόγιο)
2. Εξέταση συμβατότητας – ομοιομορφίας στη  
συλλογή δεδομένων
  - Μέσα δειγματοληψίας
  - Πυκνότητα δειγματοληψίας
  - Κοκκομετρία
  - Αναλυτικές μέθοδοι

# ΜΕΣΑ ΔΕΙΓΜΑΤΟΛΗΨΙΑΣ



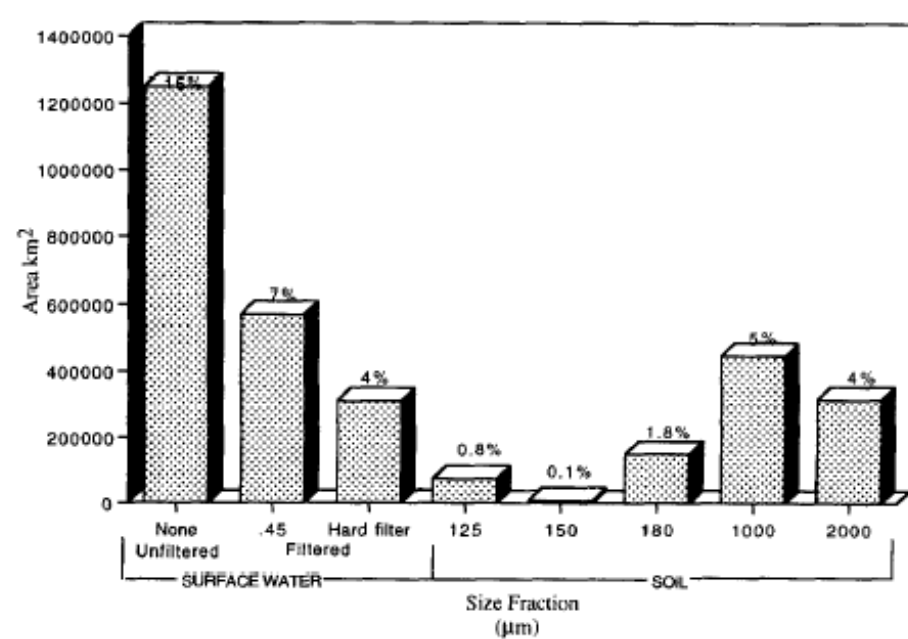
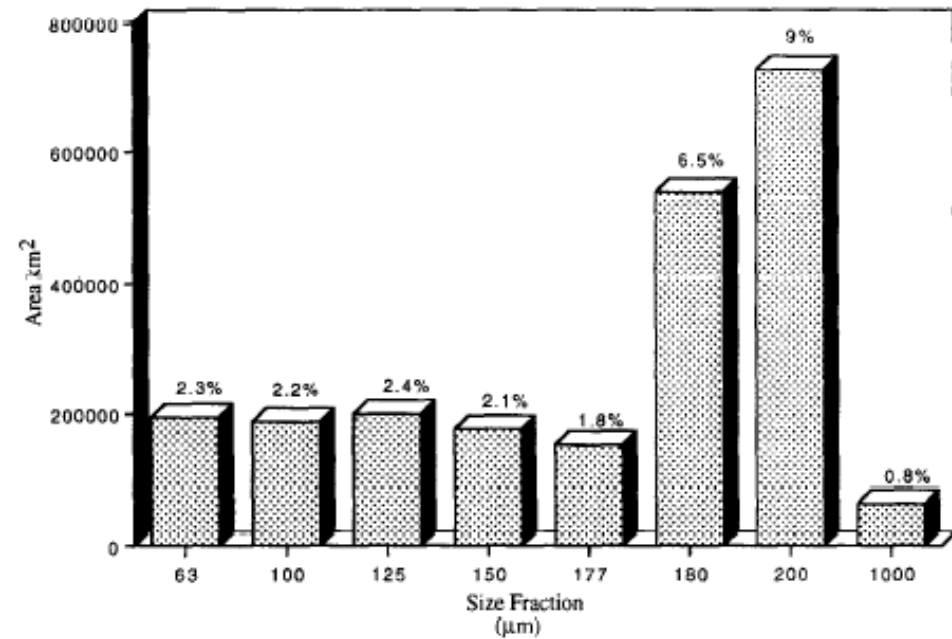
# ΠΥΚΝΟΤΗΤΑ ΔΕΙΓΜΑΤΟΛΗΨΙΑΣ

- Συνάρτηση του σκοπού έρευνας
- Ιζήματα ρεμάτων:
  - 1 δείγμα / $<0.5 \text{ km}^2$  έως 1 δείγμα /  $2000 \text{ km}^2$
- Επιφανειακά νερά:
  - $< 1 \text{ δείγμα / } 2.5 \text{ km}^2$  έως 1 δείγμα /  $2000 \text{ km}^2$
- Εδάφη:
  - 1 δείγμα /  $5 \text{ km}^2$  έως 1 δείγμα /  $25 \text{ km}^2$

# ΚΟΚΚΟΜΕΤΡΙΑ

Ίζημα ρεμάτων

Επιφανειακό νερό/ Έδαφος



# ΜΕΘΟΔΟΙ ΑΝΑΛΥΣΗΣ

- Ανάλογες της χρονολογίας της έρευνας
- Κυρίως XRF, ICP-AES, AAS φλόγας, ICP-MS, NNA
- Ποικιλία αναλυτών ανάλογα με τη χρησιμοποιούμενη μέθοδο
- Ποικιλία προγραμμάτων ποιοτικού ελέγχου με χρήση διπλών δειγμάτων/ αναλύσεων, ανάλυση δειγμάτων αναφοράς

# 2η ΦΑΣΗ ΠΡΟΓΡΑΜΜΑΤΟΣ

- Συστηματική συλλογή γεωχημικών δειγμάτων σε Πανευρωπαϊκό επίπεδο
- Μέσα δειγματοληψίας:
  - *Νερό ρεμάτων* → σχέση γεώσφαιρας-υδρόσφαιρας- ρύπανσης
  - *Ιζημα ρεμάτων* → γεωγενής σύσταση υδρολογικής λεκάνης
  - *Έδαφος* (επιφανειακό/ βάθους) → διεργασίες εμπλουτισμού στοιχείων στο επιφανειακό περιβάλλον
  - *Humus* → ατμοσφαιρικός (ανθρωπογενής) εμπλουτισμός στοιχείων
  - *Ιζημα ποτάμιας όχθης* (επιφανειακό/ βάθους)
  - *Ιζημα πλημμύρων*

# ΚΑΝΑΒΟΣ ΔΕΙΓΜΑΤΟΛΗΨΙΑΣ FOREGS (GTN)

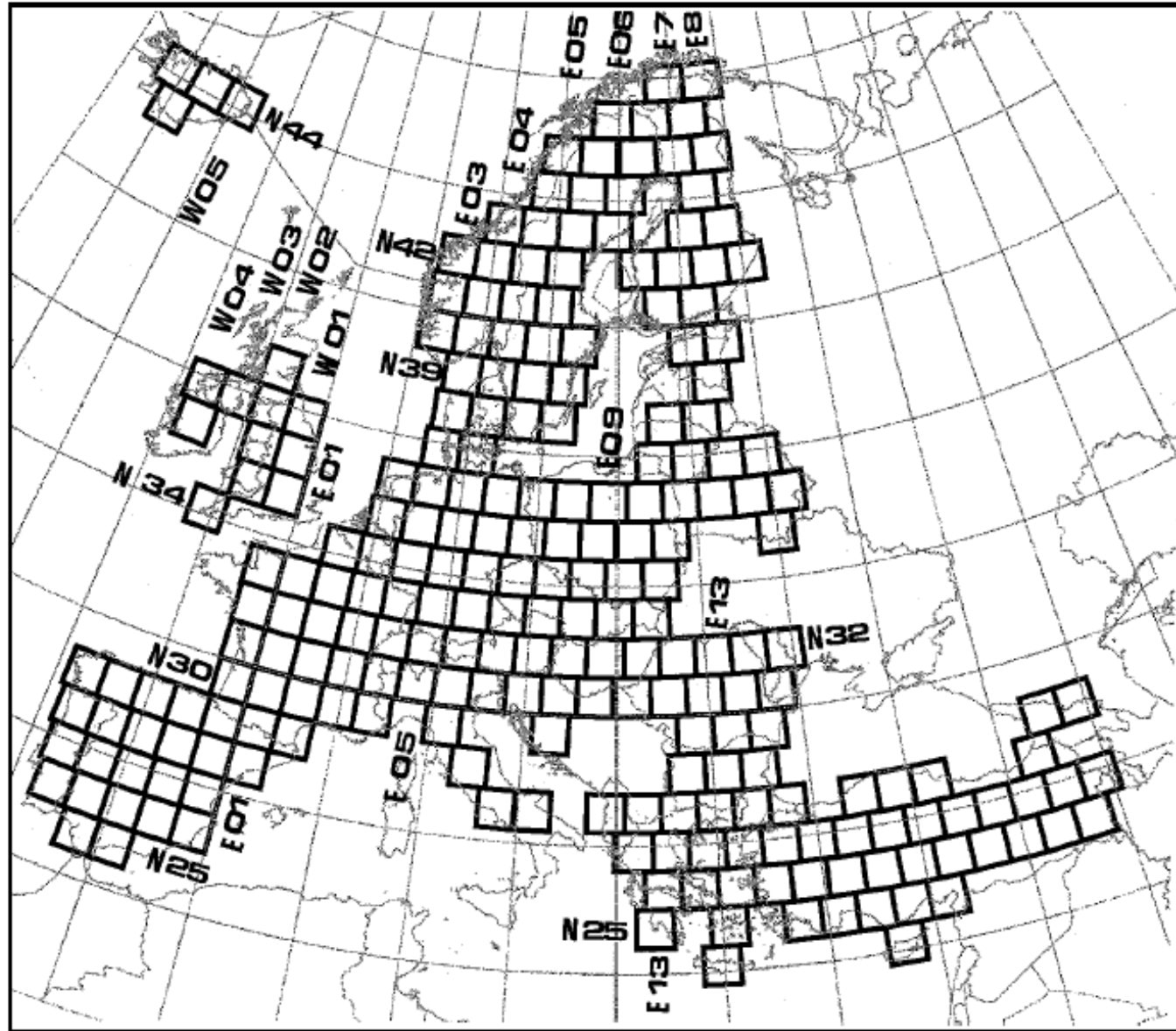
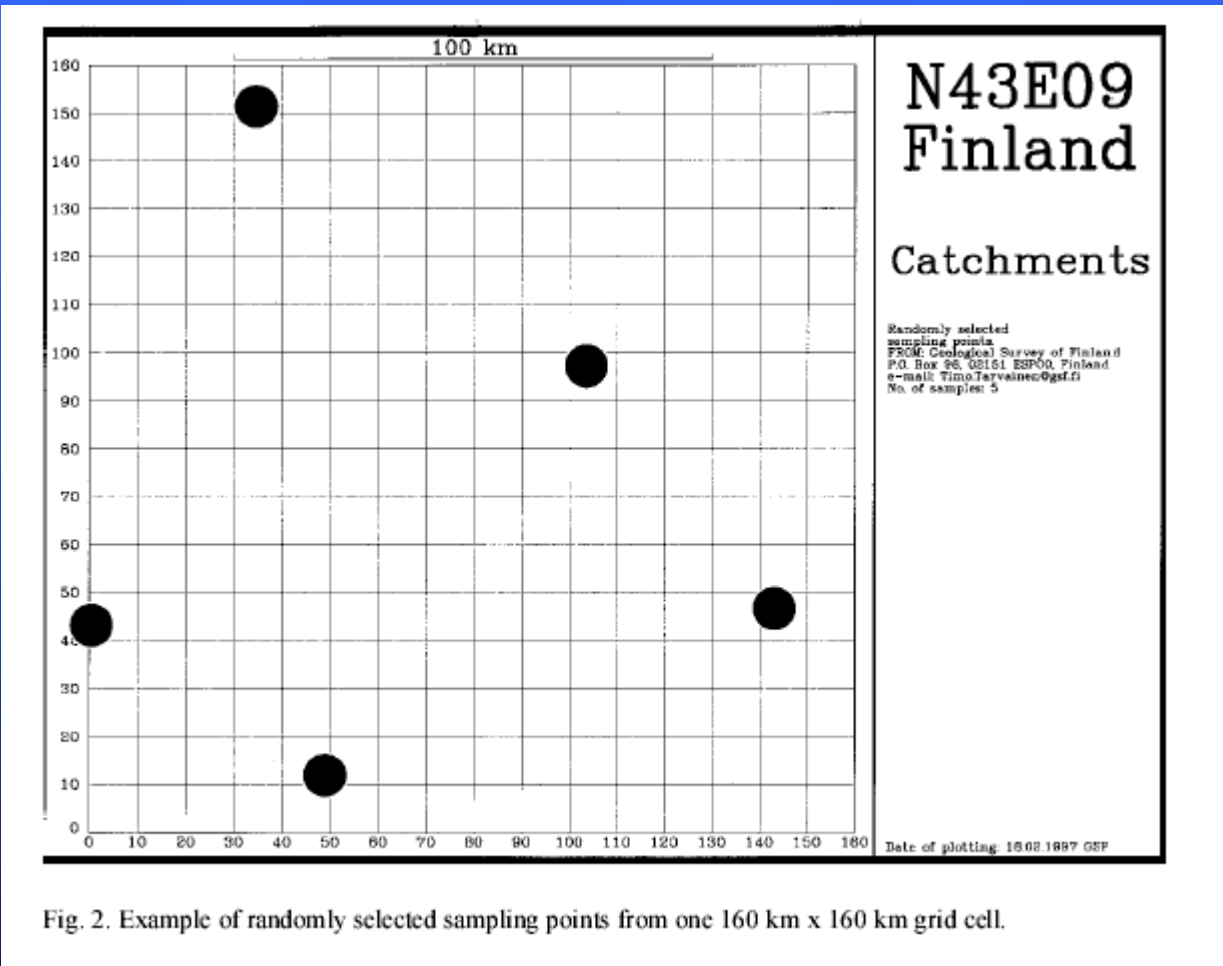


Fig. 1. Global Terrestrial Network (GTN) cells in the FOREGS countries.

# ΠΡΟΣΔΙΟΡΙΣΜΟΣ ΘΕΣΗΣ ΔΕΙΓΜΑΤΟΛΗΨΙΑΣ



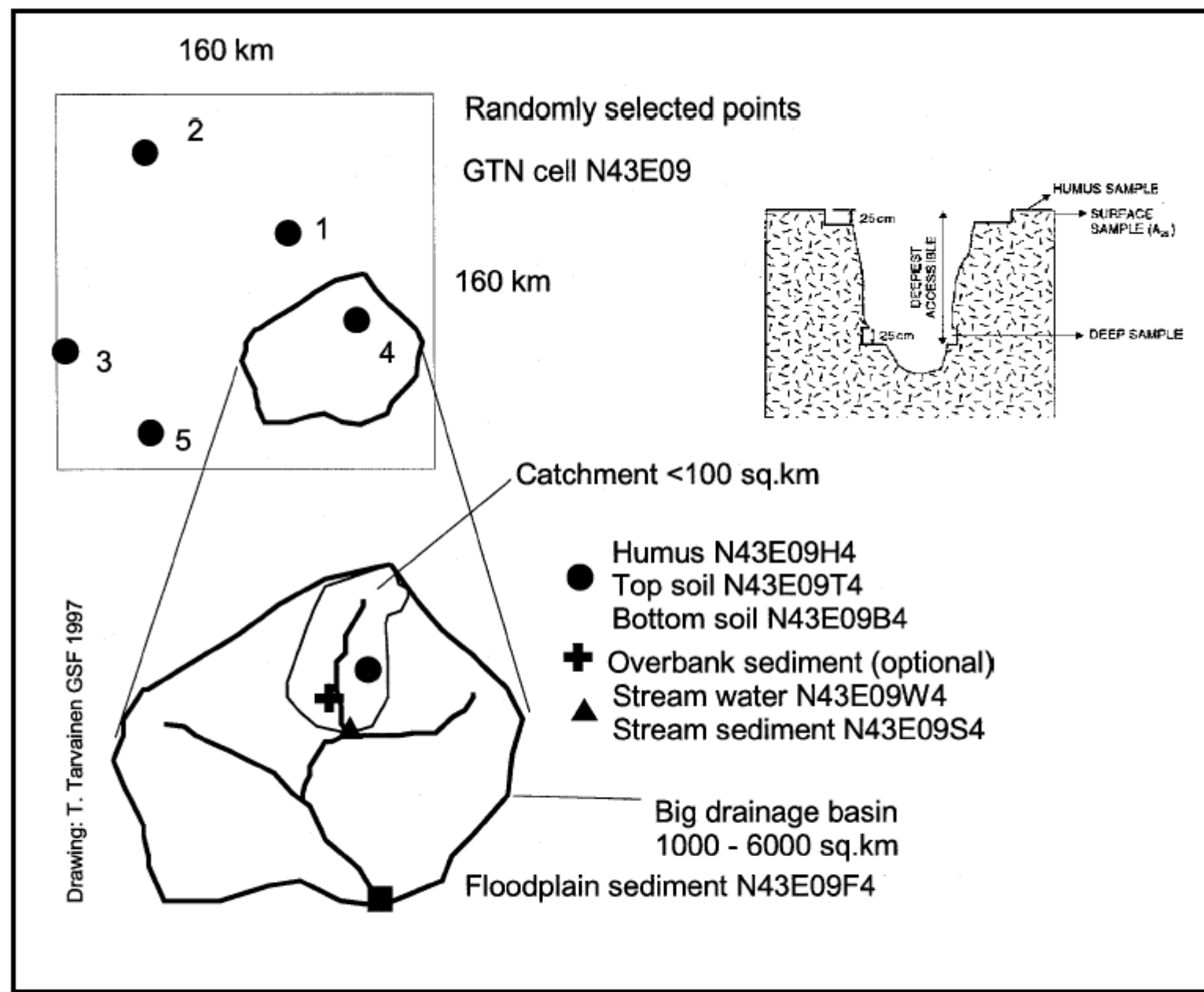
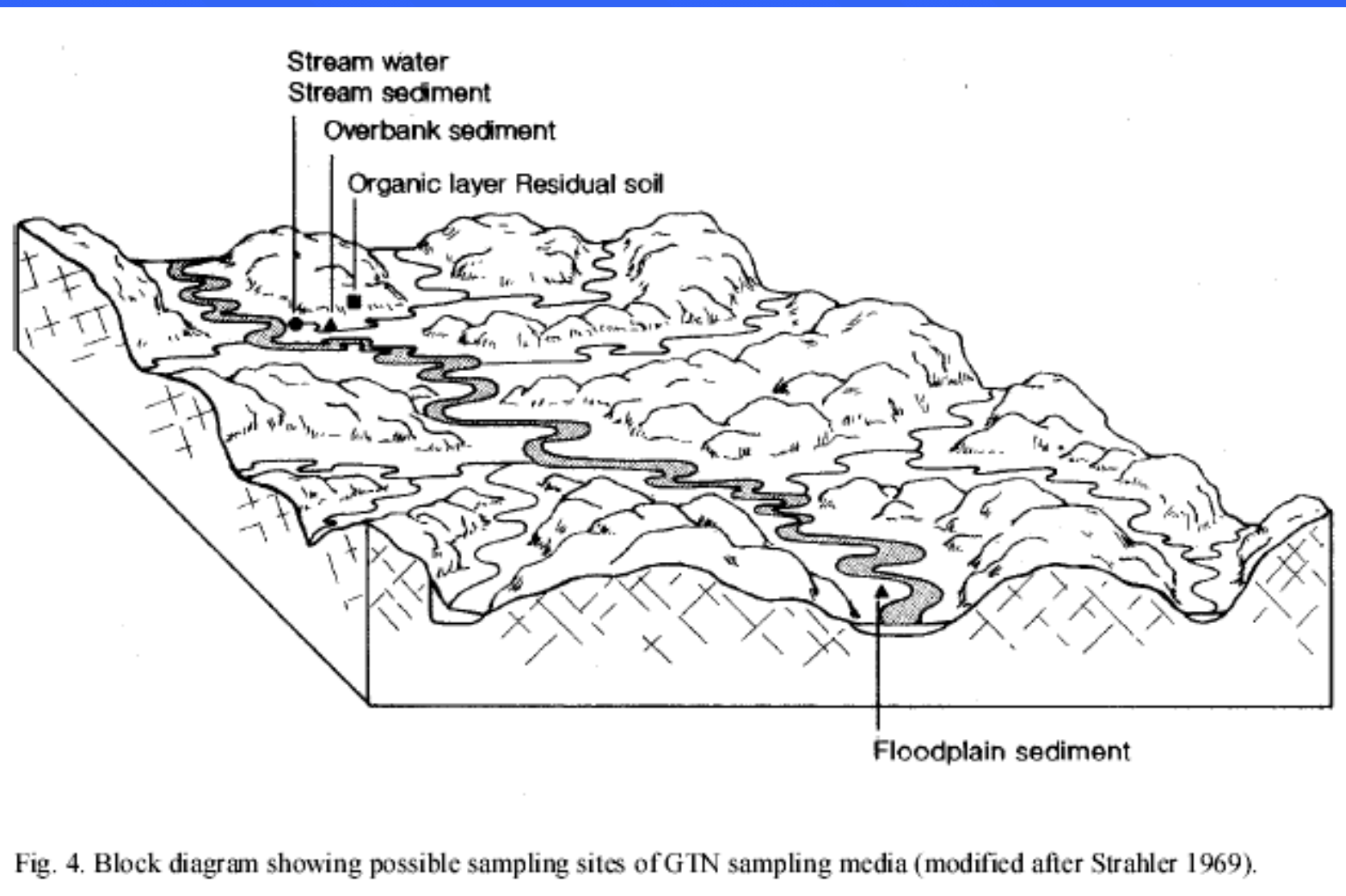


Fig. 3. Selection of sampling sites (Modified after Darnley et al. 1995). Schematic outline of sampling pattern and sampling pit for geochemical reference network. The sample pit applies to all residual soil locations. Deep sample (C): a 25 cm thick section within a depth range of 50 cm - 200 cm.

# ΘΕΣΗ ΔΕΙΓΜΑΤΟΛΗΨΙΑΣ & ΤΥΠΟΣ ΔΕΙΓΜΑΤΟΣ



# ΘΕΣΗ ΔΕΙΓΜΑΤΟΛΗΨΙΑΣ & ΤΥΠΟΣ ΔΕΙΓΜΑΤΟΣ

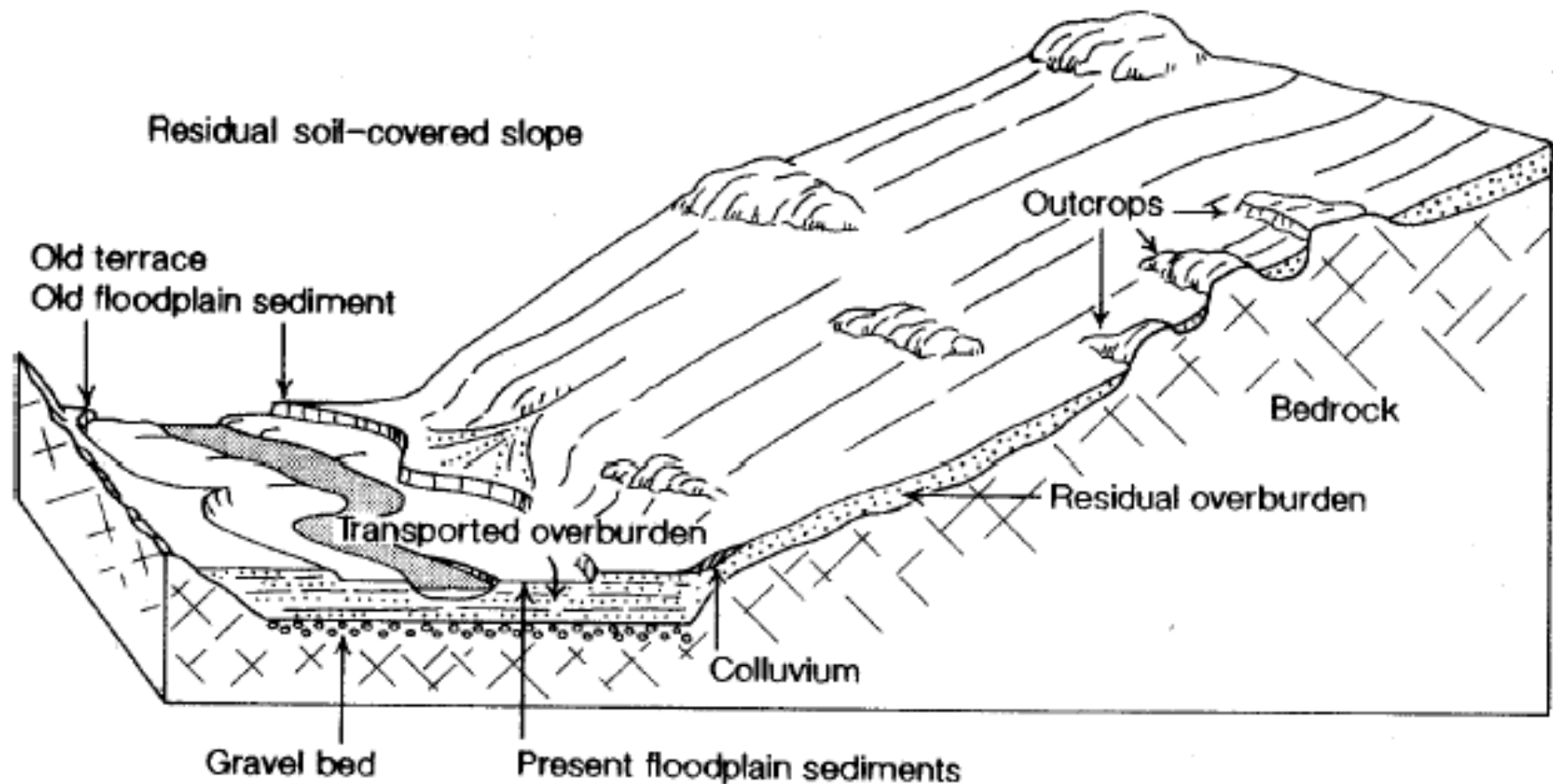


Fig. 5. Block diagram showing residual overburden (soil), colluvium, old and present day floodplain sediments (modified after Strahler 1969).

# **ΔΕΙΓΜΑΤΟΛΗΨΙΑ ΝΕΡΟΥ /ΙΖΗΜΑΤΟΣ ΡΕΜΑΤΟΣ**

- 5-10 υποδείγματα ιζήματος κατά μήκος του ρέματος
- Λήψη δείγματος νερού στα κατάντη πριν τη λήψη ιζήματος
- Φιλτράρισμα επιτόπου ( $0.45 \mu$ )
- Οξύνιση με νιτρικό οξύ
- Μέτρηση pH, Eh, αλκαλικότητας
- Δειγματολήπτες ελεύθεροι μετάλλων
- Λήψη ιζήματος τουλάχιστο 100 m ανάντη φανερών πηγών μόλυνσης (δρόμοι, οικισμοί κλπ.)
- Έναρξη δειγματοληψίας στα κατάντη
- Λήψη ιζήματος από κεντρικό σημείο της κοίτης

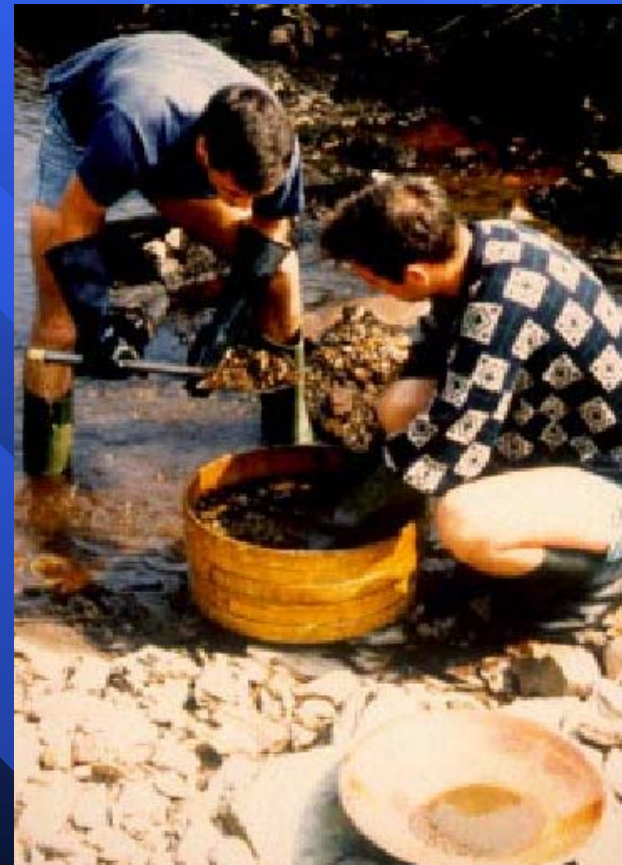
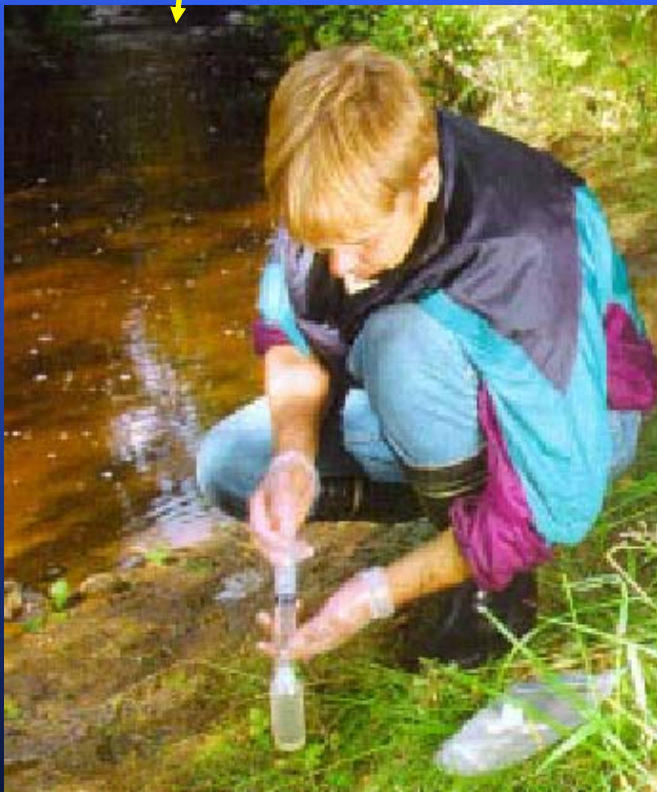
# ΔΕΙΓΜΑΤΟΛΗΨΙΑ ΕΔΑΦΟΥΣ/ HUMUS

- Αποφυγή σημείων με εμφανή ανθρώπινη δραστηριότητα (π.χ. καλλιέργειες)
- Αποφυγή λήψης μεταφερμένου υλικού (π.χ. αλλούβια)
- Σύνθετα δείγματα 3-5 σημείων απόστασης 5 m
- Σύνθετα δείγματα humus 5 σημείων από έκταση 50 x 50 m
- Αποφυγή θέσεων κάτω από δένδρα

# ΔΕΙΓΜΑΤΟΛΗΨΙΑ ΠΛΗΜΜΥΡΙΚΟΥ ΙΖΗΜΑΤΟΣ

- Επιλογή θέσης με εμφανείς στρώσεις αλλούβιου υλικού
- Αποφυγή θέσεων ανθρωπογενούς επίδρασης
- Διάνοιξη ορύγματος και λήψη δείγματος επιφάνειας και βάθους

# ΦΙΛΤΡΑΡΙΣΜΑ ΝΕΡΟΥ – ΚΟΣΚΙΝΙΣΜΑ ΙΖΗΜΑΤΟΣ



# ΣΥΛΛΟΓΗ ΠΛΗΜΜΥΡΙΚΟΥ ΙΖΗΜΑΤΟΣ – ΣΤΡΩΣΕΙΣ ΠΛΗΜΜΥΡΙΚΟΥ ΙΖΗΜΑΤΟΣ



Fig. 11. Floodplain sampling in southwestern Finland (Photo: Reijo Salminen, GSF).



Fig. 12. Floodplain sediment sequence with soil development in Greece. Meter: coloured sections 20 cm. Fine-grained clay and silt down to a depth of 75 cm (low energy floodplain sediment - good for sampling; soil has developed down to a depth of 25-29 cm). Coarse-grained sandy and pebbly unit between 75-100 cm (high energy environment). Sandy-clay unit between 100-134 cm (low-energy environment). Gravel bed below a depth of 134 cm. Photo: A. Demetriadis, IGME.

# ΤΟΠΟΘΕΣΙΑ ΕΔΑΦΙΚΟΥ ΔΕΙΓΜΑΤΟΣ – ΟΡΥΓΜΑ ΕΔΑΦΙΚΟΥ ΔΕΙΓΜΑΤΟΣ



Fig. 9. General view about the soil sampling site (Photo: Teppo Moisio, GSF)



Fig. 10. Close-up of one of the soil sample pits (Photo: Teppo Moisio, GSF)

## ΔΕΙΓΜΑ HUMUS



Fig. 8a. Humus sampling in Finland using cylindrical sampler. (Photographs: Timo Tarvainen).

# ΠΡΟΕΤΟΙΜΑΣΙΑ ΔΕΙΓΜΑΤΩΝ ΙΖΗΜΑΤΩΝ ΡΕΜΑΤΩΝ ΓΙΑ ΧΗΜΙΚΗ ΑΝΑΛΥΣΗ

Ξήρανση (40°C) → Ανάμιξη → Ζύγιση (500g)  
→ Διαίρεση (200g) → Κονιοποίηση  
→ 50g για ανάλυση XRF  
→ 50g για ανάλυση ICP-MS  
→ 100g διπλό δείγμα στη συντήρηση

# FOREGS GEOCHEMICAL BASELINE MAPPING - ANALYSIS PROGRAM SOILS

H																	He
Li	Be																
15	.5	2															
Na	Mg																
.01	.01																
100	10																
OTHER DETERMINATIONS																	
GRAIN SIZE ANALYSIS																	
K	Ca	Sc	Ti	V	Cr	Mn	Fe	Co	Ni	Cu	Zn	Ga	Ge	As	Se	Br	Kr
.01	.01	2 .5	.001 20	5 .5	3 7	.001	.01	3 3	3 2	10 10	3 40	3 .2		2 5			
100	1	.5	1	3	1	1	2	2	2	1	1						
Rb	Sr	Y	Zr	Nb	Mo	Tc	Ru	Rh	Pd	Ag	Cd	In	Sn	Sb	Te	I	Xe
2 .2	2 5	3 .1	3 1	2 .1	2							2	2	5			
1	1	1	1	1	2							3	3	5			
Cs	Ba	L A N	Hf	Ta	W	Re	Os	Ir	Pt	Au	Hg	Tl	Pb	Bi	Po	At	Rn
5	5 1.5	T A N	5 .2	5 .05	5						.1		4 3	3			
1		I D E															
Fr	Ra	A C T															
		I N I															
		D E S															
		La	Ce	Pr	Nd	Pm	Sm	Eu	Gd	Tb	Dy	Ho	Er	Tm	Yb	Lu	
		20 .1	20 15	.1	.45		.1	.05	.1	.02	.1	.02	.1	.02	.02	.02	
		Ac	Th	Pa	U	Np	Pu	Am	Cm	Bk	Cf	Es	Fm	Md	No	Lr	
		5 .1															

# FOREGS GEOCHEMICAL BASELINE MAPPING - ANALYSIS PROGRAM STREAM WATER

H																				He
Li		Be																		
.005		.005																		
Na		Mg																		
1		1																		
K		Ca	Sc	Ti	V	Cr	Mn	Fe	Co	Ni	Cu	Zn	Ga	Ge	As	Se	Br	Kr		
1		1	.005	.01	.1	.001	.1	1	.005	.005	.01	.002	.002	.002	.01	.01	.03			
Rb		Sr	Y	Zr	Nb	Mo	Tc	Ru	Rh	Pd	Ag	Cd	In	Sn	Sb	Te	I	Xe		
.002		.01	.002	.002	.002	.002				.002	.002	.001	.002	.002	.005	.1				
Cs		Ba	L	A	N	Hf	Ta	W	Re	Os	Ir	Pt	Au	Hg	Tl	Pb	Bi	Po	At	Rn
.001		.005	T	A	N	.002	.002	.002					.005	.002	.002	.001				
			I	D	E								10							
Fr		Ra	A	C	T															
			I	N	I															
			D	E	S															
						La	Ce	Pr	Nd	Pm	Sm	Eu	Gd	Tb	Dy	Ho	Er	Tm	Yb	Lu
						.002	.002	.001	.001		.002	.002	.001	.002	.002	.001	.002	.001	.002	.001
						Ac	Th	Pa	U	Np	Pu	Am	Cm	Bk	Cf	Es	Fm	Md	No	Lr
						.001														

## FIELD DETERMINATIONS

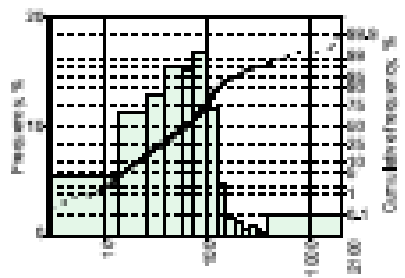
pH

EC

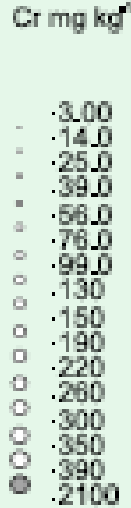
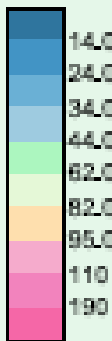
Alkalinity

# ΒΙΒΛΙΟΓΡΑΦΙΑ

1. Plant, J.A., Klaver, G., Locutura, J., Salminen, R., Vrana, K., Fordyce, F.M. (1996) the Forum of European Geological Surveys Geochemistry Task Group inventory 1994-1996, *Journal of Geochemical Exploration*, 59, 123-146.
2. Salminen et al. (1998) *FOREGS Geochemical Mapping Field Manual*, Geological Survey of Finland, Espoo.
3. Κελεπερτζής, Α. (2000) *Εφαρμοσμένη Γεωχημεία*, Μακεδονικές Εκδόσεις, Αθήνα.
4. [www.eurogeosurveys.org/foregs/](http://www.eurogeosurveys.org/foregs/)

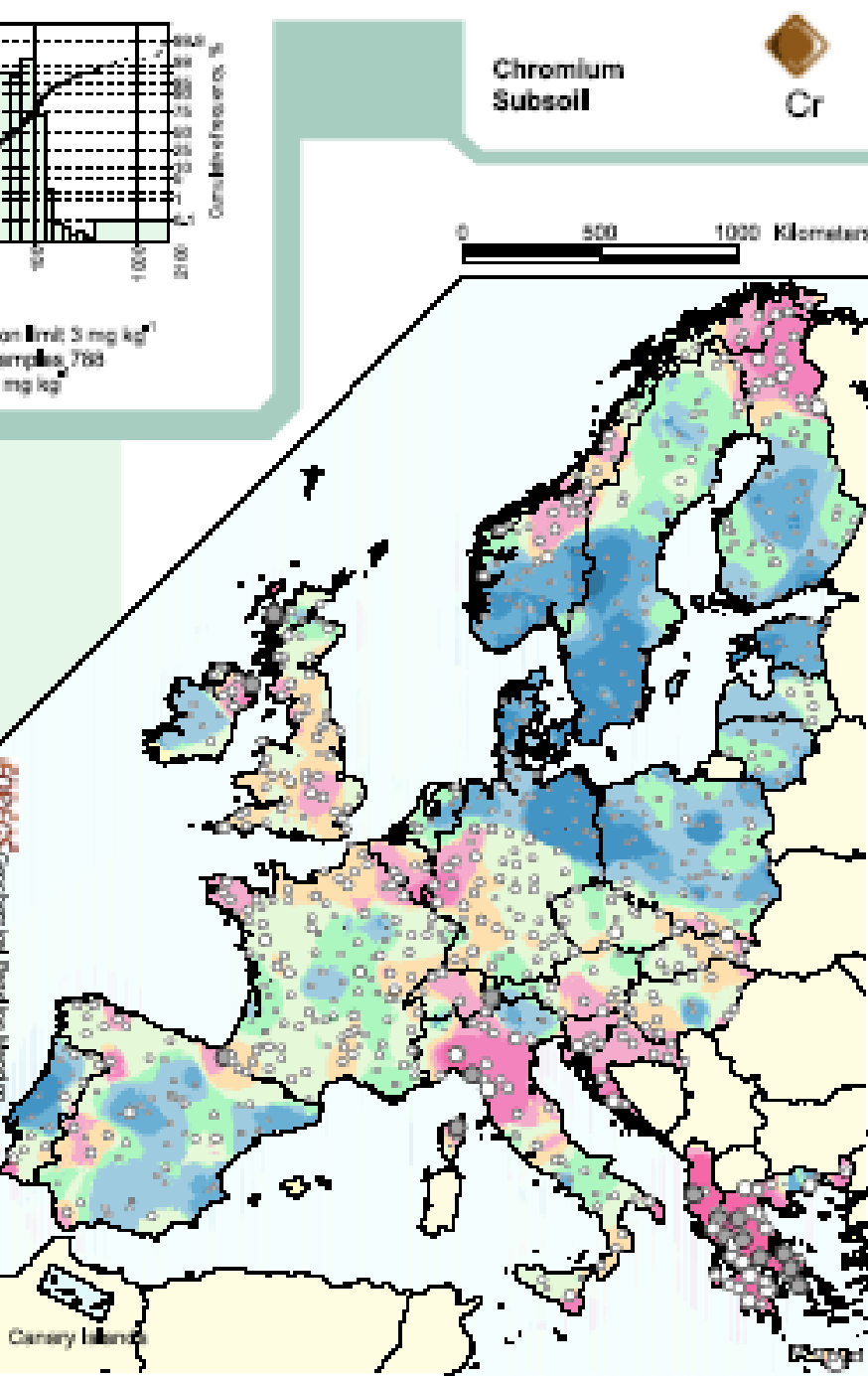


Cr  
XRF, detection limit 3 mg kg<sup>-1</sup>  
Number of samples: 763  
Median 62.0 mg kg<sup>-1</sup>



Chromium Subsoil Baseline Mapping

Canary Islands



Chromium  
Subsoil

0 500 1000 Kilometers

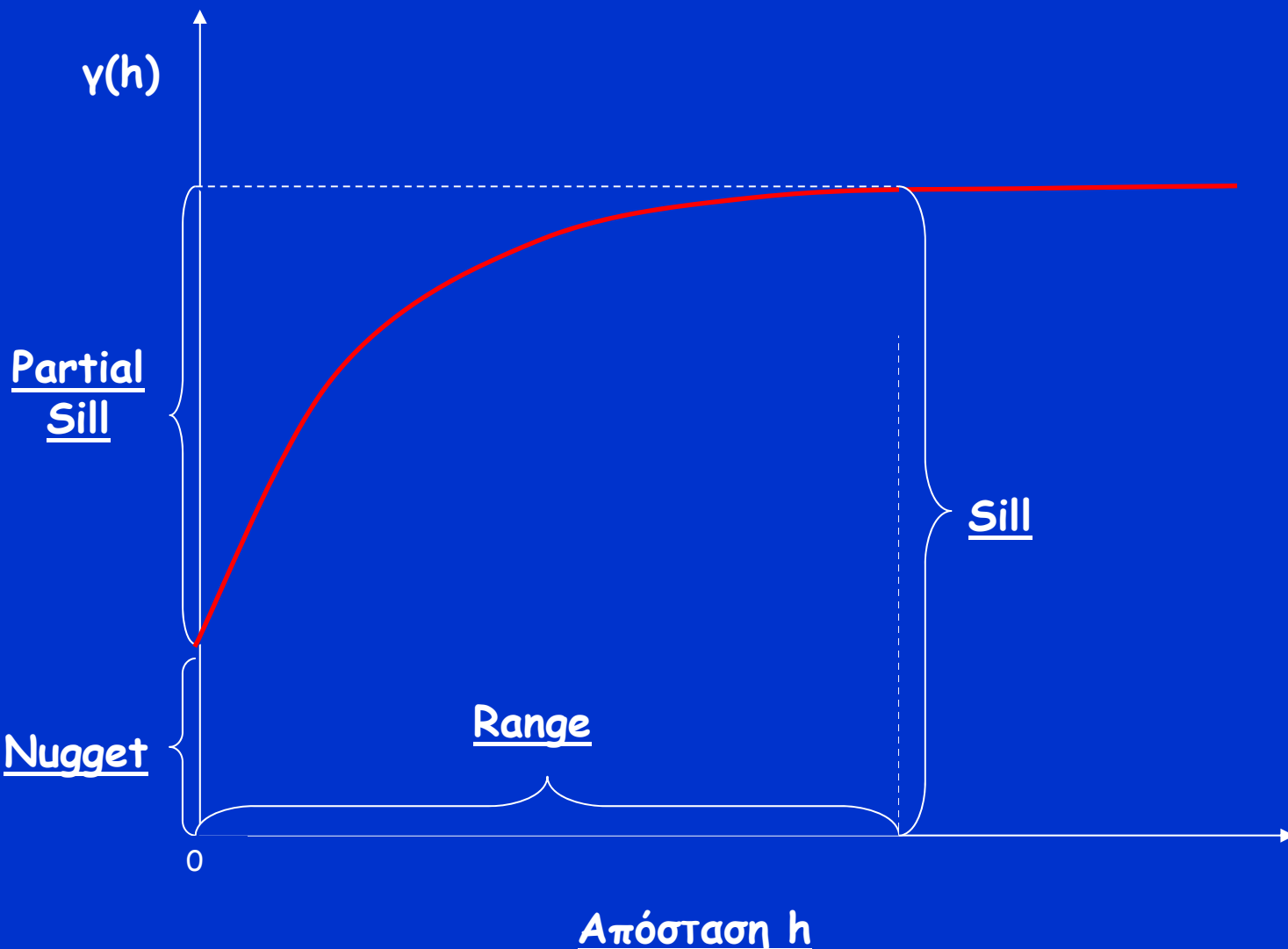
# Γεωχημική Χαρτογράφηση

## ΟΙΚΙΣΜΟΣ ΣΤΡΑΤΩΝΙΟΥ

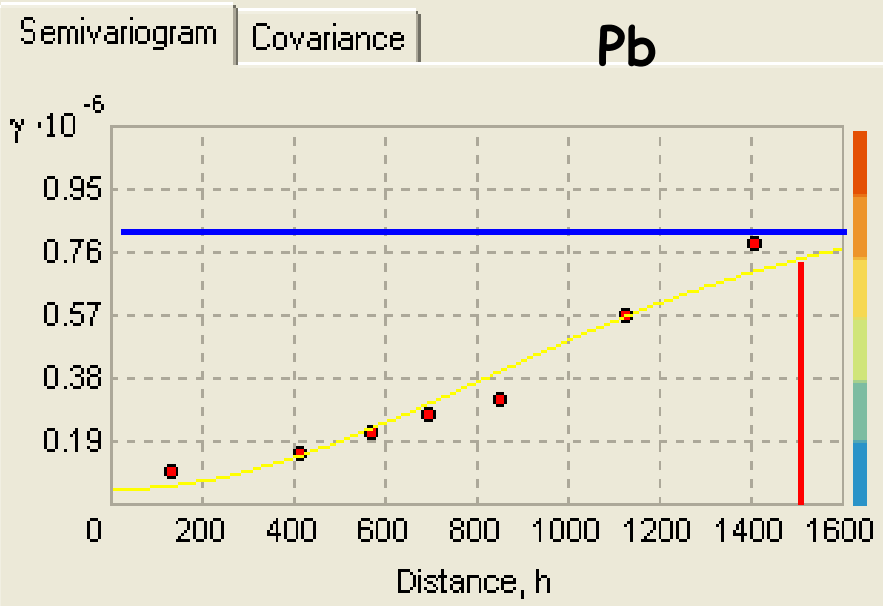
ΔΙΕΡΕΥΝΗΤΙΚΟΣ ΣΤΑΤΙΣΤΙΚΟΣ ΕΛΕΓΧΟΣ ΤΩΝ ΣΥΓΚΕΝΤΡΩΣΕΩΝ ΧΗΜΙΚΩΝ ΣΤΟΙΧΕΙΩΝ  
ΓΙΑ ΤΗΝ ΕΦΑΡΜΟΓΗ ΓΕΩΣΤΑΤΙΣΤΙΚΩΝ ΜΕΘΟΔΩΝ

- Έλεγχος αναλυτικών δεδομένων για απόμακρες τιμές (outliers).
- Μετασχηματισμός των δεδομένων με λογαρίθμιση.
- Έλεγχος κανονικότητας με την προβολή διαγραμμάτων QQ-plot
- Έλεγχος χωρικής ομοιογένειας στα δεδομένα.
- Έλεγχος χωρικής τάσης στις συγκεντρώσεις των γεωχημικών παραμέτρων.
- Υπολογισμός των ημιβαριογραμμάτων των συγκεντρώσεων των στοιχείων στο έδαφος. Από την προσαρμογή του Θεωρητικού μοντέλου στο πειραματικό ημιβαριόγραμμα υπολογίζονται οι παράμετροι του γεωστατιστικού μοντέλου, οι οποίες στην συνέχεια χρησιμοποιούνται για την χωρική παρεμβολή με μεθόδους Kriging και την κατασκευή των γεωχημικών χαρτών.

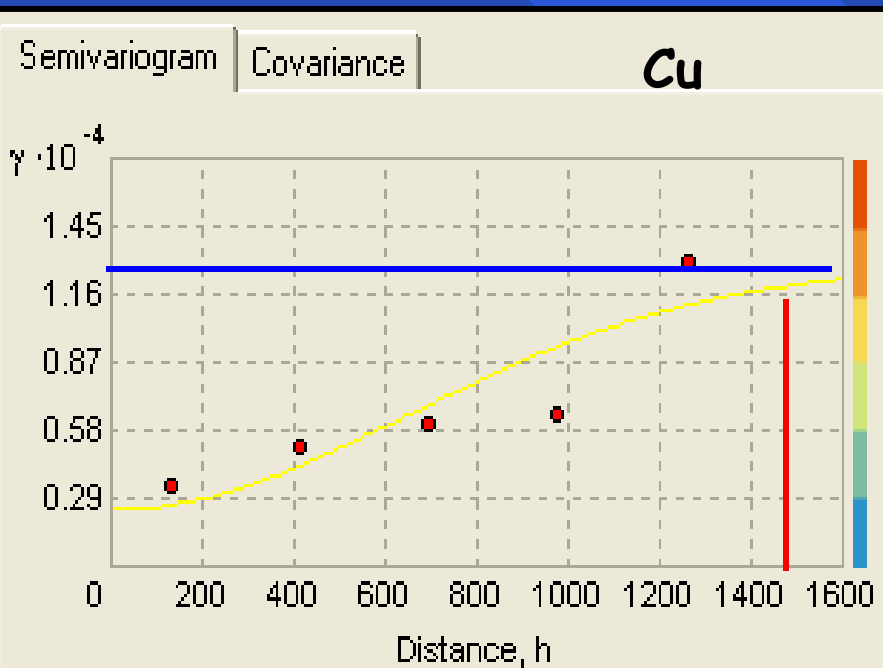
# Ημιβαριόγραμμα



# Ημιβαριογράμματα στοιχείων



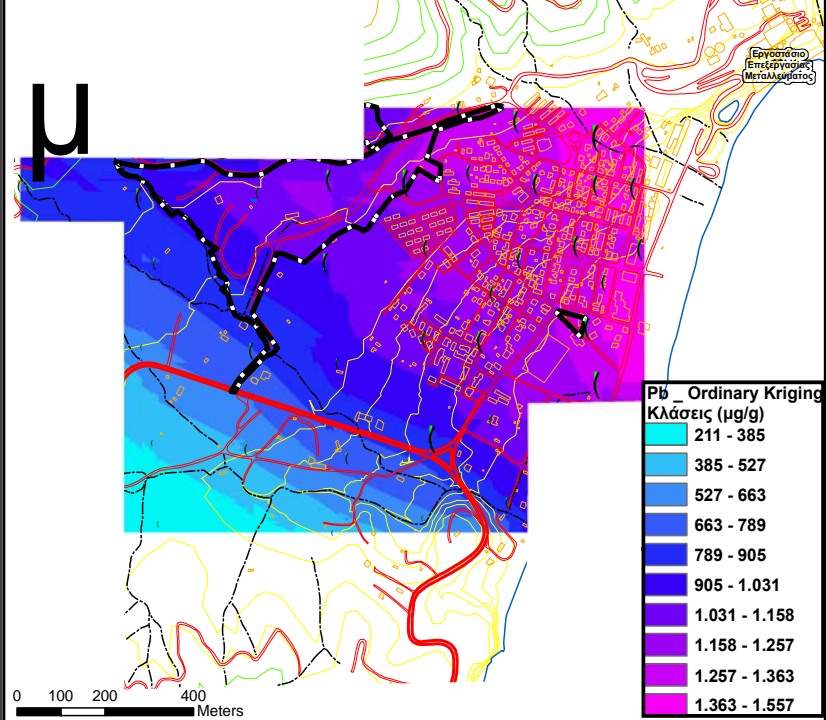
- Ημιβαριογράμματα Pb και Cu, όπου χρησιμοποιήθηκε διαφορετική μέθοδος παρεμβολής για την κατασκευή των γεωχημικών χαρτών.
- Χρησιμοποιήθηκαν 36 σημεία δειγματοληψίας τα οποία επιλέχθηκαν έτσι ώστε να απέχουν μεταξύ τους 200m εξασφαλίζοντας έτσι ομοιογενή κάλυψη του πεδίου δειγματοληψίας.
- Από τα ημιβαριογράμματα είναι φανερό ότι για απόσταση 1.5 km η συνάρτηση  $\gamma$  δεν έχει φτάσει σε κάποιο sill δηλαδή σταθεροποίηση της μεταβλητότητας των τιμών, εντός της απόστασης 1.5 km κατά μήκος της οποίας συλλέχθηκαν δείγματα .
- Έτσι, προκειμένου να καθοριστεί η ακτίνα επίδρασης της συγκεκριμένης πηγής ρύπανσης προτείνεται η συλλογή δειγμάτων πέρα των ορίων του οικισμού προς το ΝΝΔ τμήμα της περιοχής.



# Γεωχημικοί Χάρτες

ΟΙΚΙΣΜΟΣ ΣΤΡΑΤΩΝΙΟΥ  
ΓΕΩΧΗΜΙΚΟΣ ΣΥΓΚΡΙΤΙΚΟΣ ΧΑΡΤΗΣ (Pb)  
ΜΕΘΟΔΟΣ : ORDINARY KRIGING (n=36)

Μέθοδος Ordinary Kriging, Output grid cell 5m,  
Neighbors to Include: 3 or at least 3



## ΥΠΟΜΝΗΜΑ

Κλάσεις Συγκεντρώσεων  $\mu\text{g/g}$

- 180 - 529
- 529 - 830
- 830 - 1167
- 1167 - 1512
- 1512 - 1848
- Μεταλλουργικές Αποθέσεις
- Κτήρια και Εγκαταστάσεις

— Υδρογραφικό Δίκτυο

— Κύριος Δρόμος

— Δευτερεύων Δρόμος

— Ακτογραμμή

ΙΣΟΥΨΕΙΣ (m)

— 0 - 60

— 61 - 160

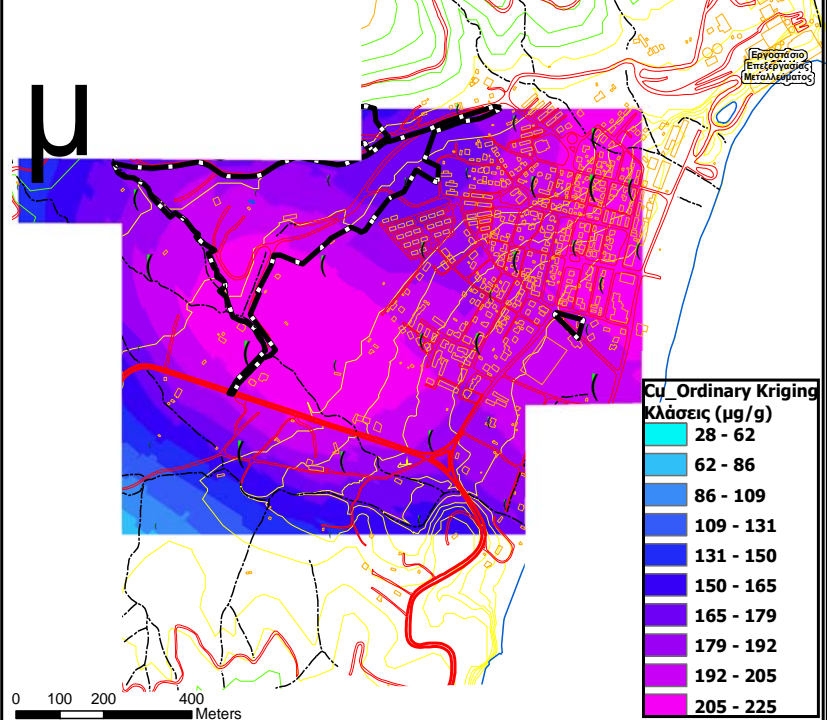
— 161 - 280

— 281 - 400

— 401 - 500

ΟΙΚΙΣΜΟΣ ΣΤΡΑΤΩΝΙΟΥ  
ΓΕΩΧΗΜΙΚΟΣ ΣΥΓΚΡΙΤΙΚΟΣ ΧΑΡΤΗΣ (Cu)  
ΜΕΘΟΔΟΣ : ORDINARY KRIGING (n=36)

Μέθοδος Ordinary Kriging, Output grid cell 5m,  
Neighbors to Include: 5 or at least 2



## ΥΠΟΜΝΗΜΑ

Κλάσεις Συγκεντρώσεων  $\mu\text{g/g}$

- 53 - 99
- 99 - 173
- 173 - 198
- 198 - 256
- 256 - 376
- Μεταλλουργικές Αποθέσεις
- Κτήρια και Εγκαταστάσεις

— Υδρογραφικό Δίκτυο

— Κύριος Δρόμος

— Δευτερεύων Δρόμος

— Ακτογραμμή

ΙΣΟΥΨΕΙΣ (m)

— 0 - 60

— 61 - 160

— 161 - 280

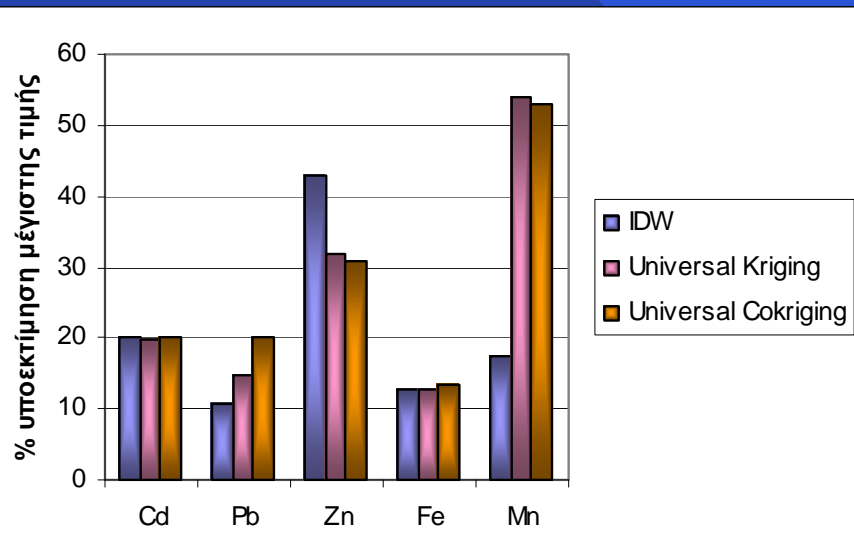
— 281 - 400

— 401 - 500

# Σύγκριση Αποτελεσμάτων Μεθόδων Παρεμβολής στον Οικισμό Στρατωνίου

Παράμετρος	Στατιστική Ανάλυση	Παρεμβολή		
		IDW	Universal Kriging	Universal Cokriging
<b>Cd</b> (n=75)				
Min	2	2.76	1.77	1.81
Max	14.94	11.93	11.985	11.977
<b>Pb</b> (n=75)				
Min	178	277.95	161.02	143.83
Max	3497.52	3123.29	2983.12	2792.13
<b>Zn</b> (n=75)				
Min	116	119.84	68.26	55.72
Max	2520.4	1436.3	1716.43	1742.5
<b>Fe</b> (n=75)				
Min	25270.3	38107.2	37776	31845.1
Max	76554.4	66843.4	66360.8	66184.5
<b>Mn</b> (n=75)				
Min	424	1135.92	955.72	1030.2
Max	22034.3	18394.3	10136.5	10375.3

➤ Σύγκριση των μέγιστων και ελάχιστων τιμών συγκεντρώσεων των χημικών στοιχείων στο έδαφος, η IDW υπερεκτιμά την ελάχιστη τιμή όλων των χημικών στοιχείων και υποεκτιμά τη μέγιστη



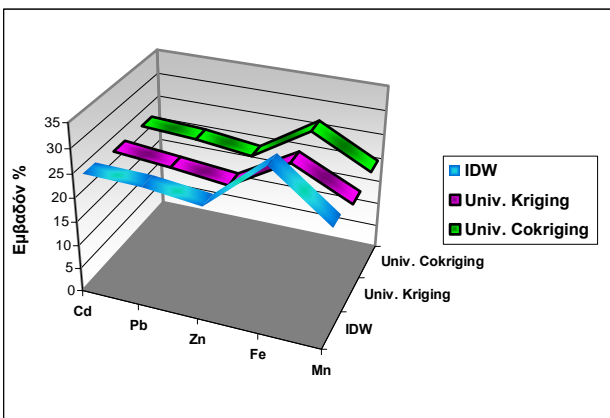
➤ Όσον αφορά στις γεωστατιστικές μεθόδους υπερεκτιμούν την ελάχιστη τιμή των συγκεντρώσεων για τα στοιχεία Fe και Mn ενώ για τον Zn και τον Pb υποεκτιμούν την ελάχιστη τιμή.

➤ Οι μέγιστες τιμές που προέκυψαν μετά την παρεμβολή είναι χαμηλότερες από τις μετρούμενες συγκεντρώσεις για όλα τα στοιχεία και όλες τις μεθόδους. Τα ποσοστά της διαφοράς στην εκτίμηση των μεγίστων παρουσιάζονται δίπλα.

**Σύγκριση των αποτελεσμάτων των μεθόδων παρεμβολής με κριτήριο το % ποσοστό του εμβαδού της περιοχής μελέτης το οποίο υπερβαίνει διαφορετικά όρια συγκέντρωσης.**

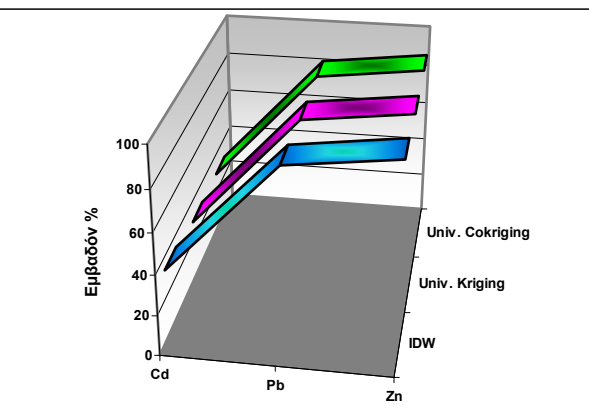
**% Εμβαδόν >3<sup>ου</sup> Τεταρτημορίου της Συγκέντρωσης**

(α)



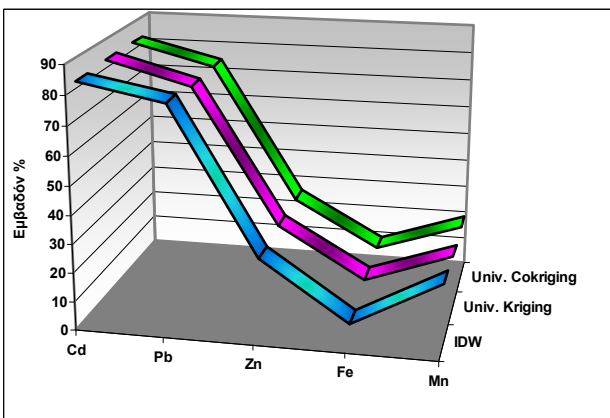
**% εμβαδόν > (DOE-ICRCL) "Κήπος" Μ. Βρετανία**

(β)



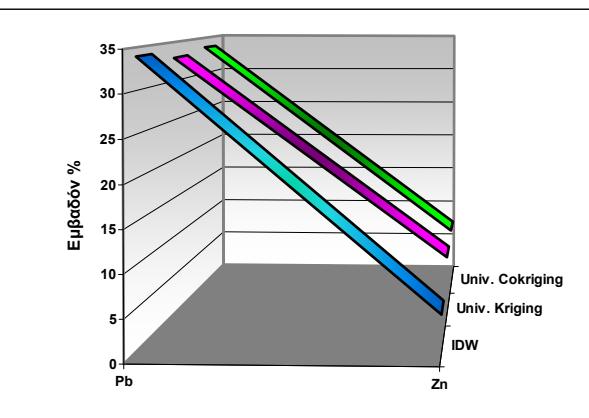
**% εμβαδόν > Μέση Τιμή Ευρύτερης Περιοχής (n=49)**

(γ)



**% εμβαδόν > Βιομηχανική χρήση Καναδάς**

(δ)



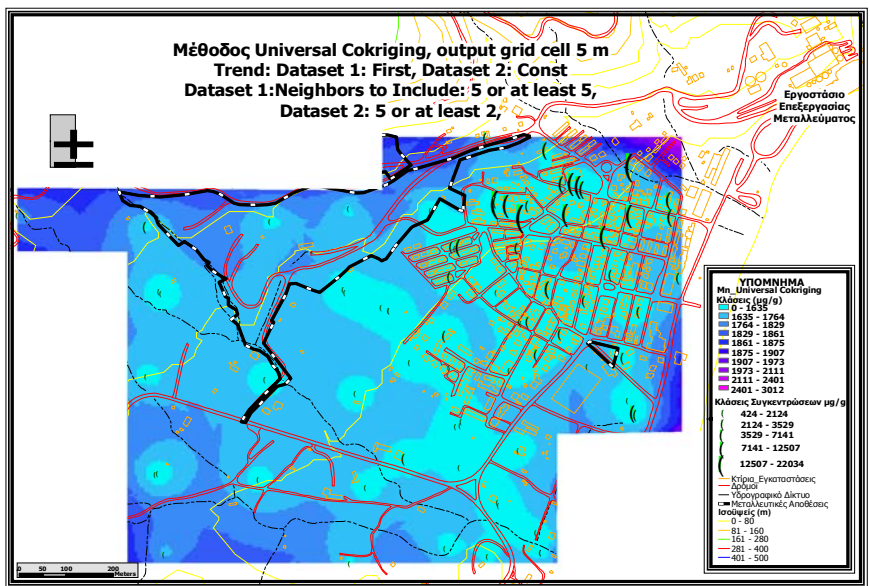
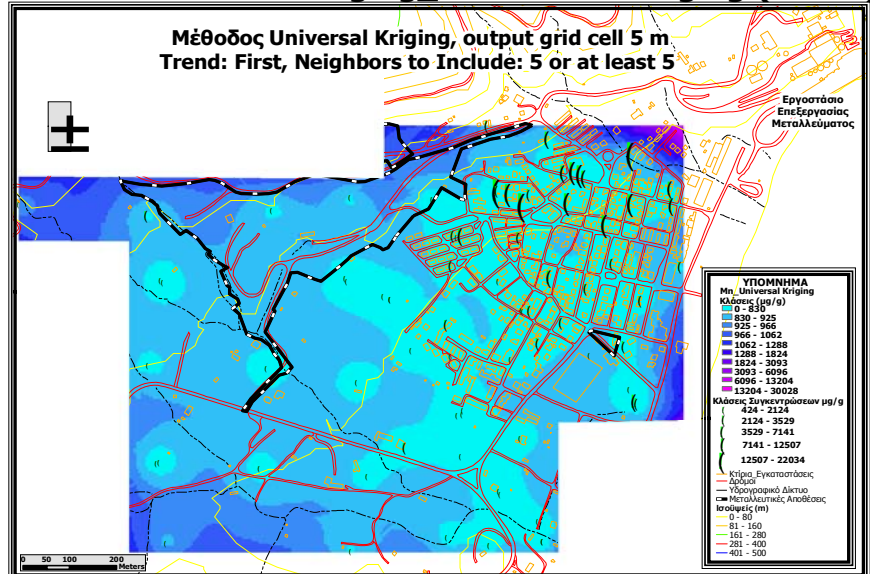
➤ Με τη χρήση των μεθόδων Universal Kriging και Universal Cokriging καλύπτεται εμβαδόν παρόμοιο για όλα τα όρια συγκέντρωσης με τα οποία συγκρίνονται τα στοιχεία.

➤ Όσον αφορά την μέθοδο IDW παρατηρούμε ότι διαφέρει ελάχιστα ενώ σε ορισμένες περιπτώσεις η χρήση της μεθόδου δείχνει ότι καλύπτει το ίδιο ποσοστό επιφάνειας με τις γεωστατιστικές μεθόδους παρεμβολής.

# Χάρτες προβλεπόμενου σφάλματος

## ΟΙΚΙΣΜΟΣ ΣΤΡΑΤΩΝΙΟΥ

Χάρτες Προβλεπόμενου Σφάλματος Kriging (Mn)  
Μέθοδοι: Universal Kriging\_Universal Cokriging (n= 75)



➤ Συγκρίνοντας τα αποτελέσματα των χαρτών προβλεπόμενου σφάλματος για τις δύο γεωστατιστικές μεθόδους προκύπτει ότι για όλα τα στοιχεία η μέθοδος που προβλέπει καλύτερα τις τιμές των συγκεντρώσεων είναι η Universal Kriging.

➤ Επίσης από τους χάρτες αυτούς γίνεται φανερή η επιρροή της πυκνότητας του κανάβου δειγματοληψίας στα αποτελέσματα της παρεμβολής. Δηλαδή οι γεωστατιστικές μέθοδοι προβλέπουν καλύτερα τη μετρηθήσα τιμή σε θέσεις όπου πυκνώνουν τα σημεία δειγματοληψίας.